

## СОДЕРЖАНИЕ

	Стр.
<b>Введение</b>	2
<b>1 Характеристика вопроса по литературным и производственным данным. Обоснование актуальности исследования. Описание объекта исследования</b>	3
<b>1.1 Описание абсорбционного оборудования и области его применения</b>	3
<b>1.2 Описание разрабатываемой технологии и ее развитие. Методы модернизации</b>	8
<b>1.3 Литературный обзор конструктивных исполнений насадочных тех и обоснование актуальности исследования</b>	16
<b>1.4 Техничко – экономическое обоснование</b>	18
<b>2 Исследовательская часть. Общие требования к безопасности проведения исследований</b>	19
<b>2.1 Описание технологической схемы МЭА – очистки отходящих газов от CO<sub>2</sub></b>	19
<b>2.2 Принципиальная схема лабораторной установки для исследования процесса абсорбции</b>	22
<b>2.3 Оборудование и приборы лабораторного стенда</b>	25
<b>2.4 Конструкционные материалы</b>	27
<b>2.5 Методика проведения исследований</b>	27
<b>2.6 Методика обработки опытных данных</b>	28
<b>2.7 Выводы по разделу</b>	39
<b>2.8 Безопасность и экологичность проектных решений в научно-исследовательской работе</b>	39
<b>3 Проектно – конструкторская часть. Рекомендации к практическому использованию результатов исследования</b>	48
<b>3.1 Расчеты аппарата</b>	48
<b>3.2 Прочностной анализ царги колонны абсорбции</b>	66
<b>4 Организационно – экономическая часть исследовательской работы</b>	69
<b>Заключение</b>	83
<b>Список литературных источников</b>	84
<b>Приложение А «Опись чертежей»</b>	87
<b>Приложение Б «Спецификации»</b>	89

					<i>ВР – НГТУ – М19ТМО – 000 – 21</i>			
<i>Изм.</i>	<i>Лист</i>	<i>№ докум.</i>	<i>Подпись</i>	<i>Дата</i>	<i>Разработка лабораторного стенда и исследование процесса абсорбции в насадочной колонне</i>	<i>Лит.</i>	<i>Лист</i>	<i>Листов</i>
<i>Разраб</i>	.	<i>Винакурова М.С.</i>					1	93
<i>Пров.</i>		<i>Степлькин А.В.</i>						
<i>Н. Контр.</i>		<i>Балахнин И. А.</i>						
<i>Утв.</i>		<i>Дикав В. А.</i>						
						<i>ДПИ НГТУ М19-ТМО</i>		

## ВВЕДЕНИЕ

Во многих сферах химической и нефтехимической промышленности существует потребность в массообменном оборудовании, в частности, абсорбционном. Абсорбцией называется процесс поглощения газа жидкостью, в котором газ растворим. Области применения абсорбционного оборудования весьма широки, приведем некоторые из них:

- получение готового продукта путем поглощения газа жидкостью. К данному примеру можно отнести абсорбцию  $SO_3$  в производстве серной кислоты, абсорбцию окислов газа водой и т.д.;

- разделение готовых смесей для выделения одного или нескольких компонентов смеси;

- очистка газа от вредных компонентов;

- улавливание ценных компонентов из газовой смеси.

Из большого многообразия конструктивных исполнений абсорбционного оборудования большое распространение получили насадочные абсорберы, относящиеся к группе поверхностных абсорберов. В качестве контактного устройства для данного типа аппаратов выступают насадочные тела различной формы, существенно влияющие на производительность аппарата.

На данный момент существует большое количество исследований и научных работ по определению оптимальной конструкции насадочных тел, обеспечивающих высокую эффективность процесса разделения и при этом имеющих конечную невысокую стоимость насадки. И, хотя, предложены конструктивные исполнения насадочных тел, многие из них показали низкую эффективность, либо высокую эффективность вкуче с их высокой отпускной стоимостью. Также постоянный рост объемов производства являются причинами для дальнейших исследований абсорбционного оборудования с целью повышения их производительности. В связи с вышеописанным, в данной выпускной квалификационной работе стоит задача разработки лабораторного стенда для исследования процесса абсорбции в насадочной колонне и выполнение первичных испытаний для выявления общих закономерностей в различных режимах работы установки.

					ВР – НГТУ – М19ТМО – 000 – 21	Лист
Изм.	Лист	№ докум.	Подпись	Дата		3











абсорбера. Только часть растворителя полностью регенерируется и обеспечивает необходимую движущую силу для достижения требуемой чистоты. Что касается объемного удаления, эта модификация более полезна для «термодинамически неблагоприятного» растворителя, такого как третичный амин, чем для моноэтаноламина. Также обычно комбинируют устройство с разделенным потоком с разделением насыщенного растворителя. Эту комбинацию модификаций обычно называют расширенным разделенным потоком (на рисунке 1.5 красная пунктирная линия). В этой конфигурации богатый амин, покидающий абсорбер, разделяется на два потока, что позволяет снизить общее потребление технологического пара при сохранении требований к удалению  $\text{CO}_2$ . Таким образом, у съемника есть две точки подачи. Один поток входит в верхнюю часть отпарной колонны, выходит из средней точки и возвращается в середину абсорбера. Другой разделитель входит в среднюю точку аппарата и выходит из него по направлению к нижней части.

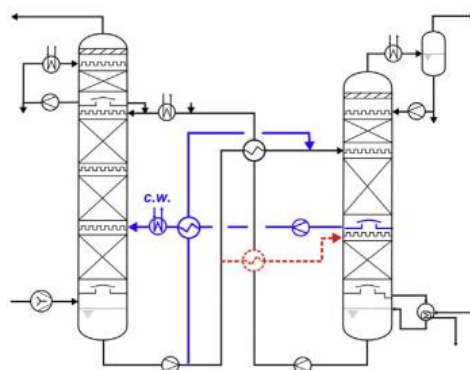


Рисунок 1.5

**5. Двойной поглотитель / стриппер.** Опять же, эта концепция изначально была разработана для удаления  $\text{H}_2\text{S}$ , но ее можно адаптировать для применения в улавливании  $\text{CO}_2$ . На рисунке 1.6 показан процесс, основанный на двухконтурном процессе абсорбер-десорбер. Он состоит из абсорбционной колонны, разделенной на 2 секции, как и в процессе с разделенным потоком. Основная часть абсорбции происходит в нижней части, в которую подается частично удаленный растворитель. Растворитель, покидающий абсорбер, затем через теплообменник направляется в первичный отпарной аппарат. Верхняя часть абсорбера используется для доочистки очищенного газа. Растворитель, покидающий эту секцию, регенерируется во вторичной отпарной колонне. Эта модификация процесса аналогична некоторым конфигурациям ОТВС, но ее основная цель - использовать два разных растворителя в двух разных контурах поглотителя. В качестве альтернативы в этом процессе можно использовать только один растворитель и можно обеспечить фракционную регенерацию с помощью двух отпарных колонн. Первичная отпарная колонна частично регенерирует растворитель, получая обедненный растворитель, типичный для обычных одноконтурных процессов. Основная часть растворителя, выходящего из отпарной колонны,

Изм.	Лист	№ докум.	Подпись	Дата



возвращается в нижнюю часть абсорбера. Лишь небольшая часть растворителя из основной отпарной колонны направляется во вторичную отпарную колонну для дальнейшей отпарки при более высокой температуре, в результате чего получается ультра-обедненный растворитель, который направляется вверх абсорбера.

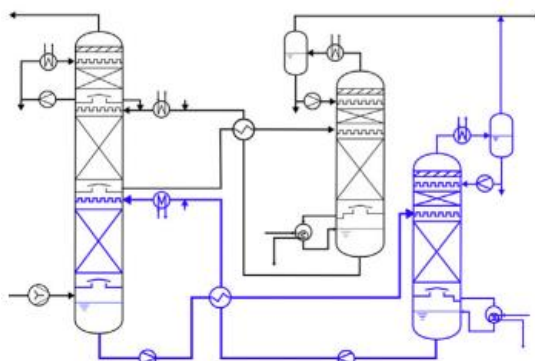


Рисунок 1.6

**6. Сжатие и расширение дымовых газов.** Цель этой модификации - увеличить движущую силу поглощения и использовать теплоту поглощения для производства энергии (рисунок 1.7). Дымовые газы сжимаются, как правило, до среднего давления (до 3 бар). Это повышает парциальное давление  $\text{CO}_2$  и способствует его абсорбции в растворителе. Благодаря этой дополнительной движущей силе можно ожидать более высокой нагрузки или можно использовать менее активный растворитель, оба эти эффекта приводят к уменьшению режима регенерации. Чтобы снизить стоимость сжатия дымовых газов, декарбонизированные дымовые газы расширяются в турбине перед секцией промывки водой. Эти дымовые газы нагреваются в абсорбере за счет экзотермической абсорбции  $\text{CO}_2$ .

Можно использовать дополнительный источник тепла (например, питательную воду для котла) для повышения температуры дымовых газов перед расширением.

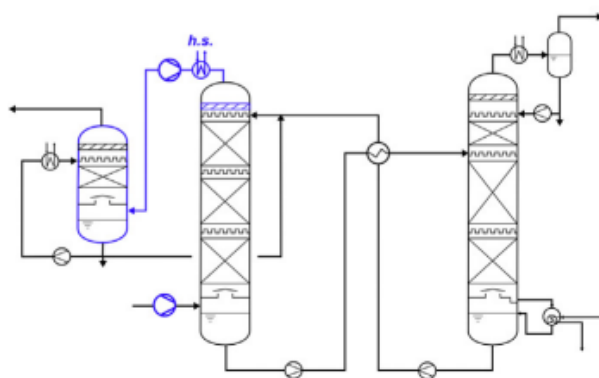


Рисунок 1.7

Массообменные процессы сопровождаются тепловыми эффектами, при этом теплообмен может существенно влиять на ход основного процесса или являться лимитирующей стадией. Наиболее эффективным методом влияния













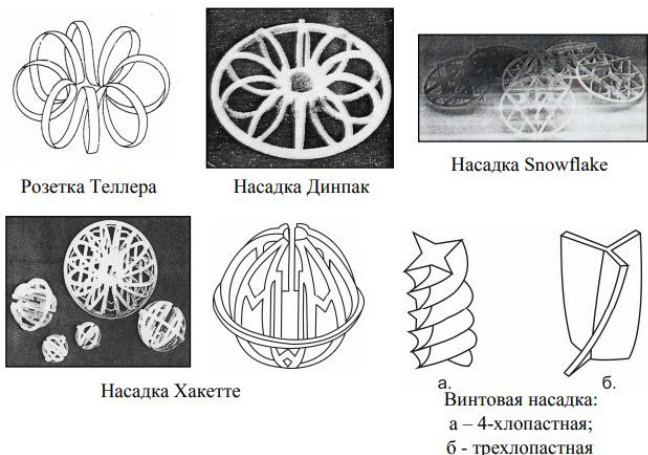


Рисунок 1.15 – Нерегулярные насадки различной формы

Вторую группу насадок составляют регулярные насадки, установленные упорядоченно по всей высоте колонны [1]. Это дает регулярным насадкам ряд преимуществ по сравнению с нерегулярными: отсутствуют застойные зоны жидкости в местах контакта элементов нерегулярной насадки, не участвующие в процессе массообмена. То есть существует теоретическая возможность 100% смачивания поверхности насадки жидкостью. Наличие каналов правильной формы способствует более низкому гидравлическому сопротивлению в расчете на единицу высоты насадочного слоя и большую пропускную способность. В настоящее время известно несколько десятков различных конструкций регулярных насадок. Они изготавливаются из различных материалов: керамики, полимерных материалов, металлов (просечно-вытяжного или гладкого листа).

По своему основному конструктивному признаку регулярные насадки могут быть разделены на несколько групп. Наиболее многочисленной группой являются так называемые плоско – параллельные насадки, представляющие собой установленные параллельно друг другу с определенным дистанционированием вертикальные листы (рисунок 1.16) [13].

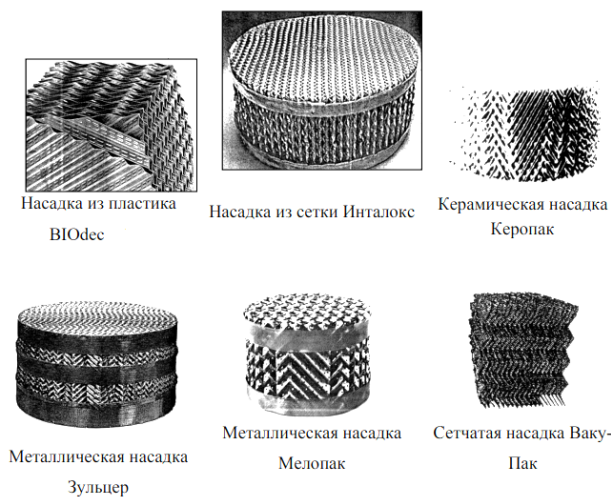


Рисунок 1.16 – Плоско – параллельные насадки







Отметим тот факт, что первичные исследования гидравлических и массообменных характеристик в насадочной колонне абсорбции будут проводиться с кольцами Рашига, поскольку именно они наиболее хорошо изучены в данный момент.

#### 1.4 Технико – экономическое обоснование

Для проведения научных исследований и лабораторных работ на кафедре ТОТС ДПИ НГТУ была спроектирована установка, содержащая колонну абсорбции и десорбции, насосное и теплообменное оборудование, а также контрольно-измерительные приборы. При возможной покупке аналогичного стенда суммарные затраты проведения исследований, включая затраты на оборудование и приборы, составляла бы 1050000 руб. Планируемые затраты на исследования, с самостоятельной разработкой стенда ориентировочно составят 800 000 руб. Тогда выгода (экономия) составит:

$$\begin{aligned} \mathcal{E} &= C_1 - C_2, \\ \mathcal{E} &= 1050000 - 804582 = 245418 \text{ руб.} \end{aligned}$$

Сэкономленные деньги могут пойти на дальнейшие научные изыскания, совершенствование учебных лабораторий и процесса обучения в целом.

					<i>ВР – НГТУ – М19ТМО – 000 – 21</i>	<i>Лист</i>
<i>Изм.</i>	<i>Лист</i>	<i>№ докум.</i>	<i>Подпись</i>	<i>Дата</i>		19

## 2 ИССЛЕДОВАТЕЛЬСКАЯ ЧАСТЬ. ОБЩИЕ ТРЕБОВАНИЯ К БЕЗОПАСНОСТИ ПРОВЕДЕНИЯ ИССЛЕДОВАНИЙ

### 2.1 Описание технологической схемы МЭА очистки отходящих газов от CO<sub>2</sub>

Технологическая схема процесса извлечения CO<sub>2</sub> приведена на рисунке 2.1. Отфильтрованный атмосферный воздух очищается с помощью фильтра *Ф1*. Пройдя через компрессор *К1*, смешивается в эжекторе *Э1* с двуокисью углерода. Воздух нагревается в трубе преподогревателя *T1* и подается в газовый скруббер *С1*. В аппарате воздух взаимодействует с водой. Вода подается в верхнюю часть аппарата с помощью насоса *Н1* из емкости *Е1* и распределяется по насадке. Газовый поток контактирует с водой на поверхности насадки, при этом он охлаждается, и влагосодержание потока снижается. Дополнительно водой в реальном технологическом процессе задерживаются частицы сажи. Скруббер включен в схему для достижения тех же параметров, что характерны для реального технологического процесса. Нагретая вода отводится из нижней части скруббера в емкость *Е1*, затем охлаждается в выносном холодильнике *T2* и снова подается в колонну. Дымовые газы после слоя насадки проходят через каплеотбойник, предотвращающий унос воды из аппарата и уходят на стадию абсорбции.

Основная часть колонны абсорбции *К2* работает на поглощение CO<sub>2</sub> из отходящих газов. Газ, обогащенный CO<sub>2</sub>, подается в аппарат снизу. Затем, распределяясь по сечению колонны, попадает в промывную часть. На орошение промывной части подается вода из емкости *Е2* насосом *Н2*. Проходя слой насадки и каплеотбойник, газ выходит из колонны. Раствор МЭА подается в аппарат через распределитель. Жидкий, насыщенный диоксидом углерода раствор МЭА выходит из нижней части абсорбера. Насос богатого моноэтаноламина *Н4* подаёт смесь в рекуператор тепла *T4*.

Часть жидкости поступает в абсорбер *К2* со стадии промывки углекислого газа из водяного скруббера *С2*, и служит для компенсации потерь воды, захватываемой газовым потоком. Для поддержания оптимального температурного режима, жидкость после секции промывки отводится из аппарата, охлаждается в теплообменнике *T2* и снова возвращается в аппарат. Циркуляцию по данному контуру осуществляет насос.

Раствор богатого (насыщенного CO<sub>2</sub>) МЭА подается в десорбер *К3* через распределитель *T4*. Из нижней части десорбера часть МЭА выходит и стекает в ребойлер *T5*, его используют в качестве подогревателя низа колонны. Из ребойлера парожидкостная смесь поступает в нижнюю часть колонны. В колонне поток разделяется на парогазовую смесь, (содержащую CO<sub>2</sub>, пары воды и МЭА) и на обедненный МЭА. Парогазовая смесь проходит через слой насадки, контактируя со стекающим насыщенным МЭА. При взаимодействии происходит разогрев МЭА и разложение комплексов карбонатных солей, химически связывающих углекислоту.

					ВР – НГТУ – М19ТМО – 000 – 21	Лист
Изм.	Лист	№ докум.	Подпись	Дата		20



Из парогазового потока конденсируется водяной пар и МЭА.  $\text{CO}_2$ , пары воды и МЭА выходят из верхней части колонны. Обедненный МЭА удаляется из кубовой части колонны. Насосом *H5* регенерированный МЭА подается в поточный рекуператор *T4*, где охлаждается, нагревая жидкий насыщенный диоксидом углерода раствор МЭА из абсорбера. После теплообмена раствор МЭА подается на орошение в колонну абсорбции.

Скруббер *C2* охлаждает выходящую из колонны паро – газовую смесь и конденсирует пары воды из них. Кроме этого, скруббер позволяет уловить в циркулирующем потоке воды пары МЭА.

Паро – газовая смесь, содержащая  $\text{CO}_2$ , воду, МЭА после охлаждения на стадии сорбции *T6* подается в нижнюю часть скруббера. Вода подается в колонну насосом *H1* из емкости *E1* и распределяется по насадке. Паро – газовый поток контактирует с водой на поверхности насадки, при этом он охлаждается и часть паров (воды и МЭА) конденсируется. Нагретая вода отводится из нижней части скруббера, затем возвращается *H8* в узел сорбции (подается на орошение в абсорбер). Газ ( $\text{CO}_2$ ), содержащий пары поглотителя, после слоя насадки в колонне дополнительно проходит через каплеотбойник, предотвращающий унос капель воды из аппарата и подается на стадию сжатия и сжижения углекислоты.

## 2.2 Принципиальная схема лабораторной установки для исследования процесса абсорбции

Основной задачей эксперимента является исследование гидравлических и массообменных характеристик насадочной колонны. Для исследования используется экспериментальный стенд. Первым этапом разработки лабораторного стенда для извлечения  $\text{CO}_2$  стала колонна абсорбции, царги которой изготовлены из органического стекла. Далее установка будет модернизирована, поскольку для начала необходимо определить характеристики работы аппарата. Будут использованы безопасные и доступные среды – вода, воздух. Для дальнейшей работы с опасными средами царги можно будет заменить на металлические трубы, и колонна легко продолжит свою работу.

Принципиальная схема лабораторного стенда для проведения эксперимента приведена на рисунке 2.2. Оборудование установки включает: вентилятор, насос, насадочную колонну.

Для проведения исследований по определению гидравлических и массообменных характеристик используется лабораторная насадочная колонна 5 диаметром 200 мм. В колонну засыпаны керамические кольца Рашига.

Исследования будут проводиться на средах – воздух и вода. Воздух из помещения лаборатории засасывается вентилятором 3 и подается в кубовую часть лабораторной колонны 5. Расход воздуха регулируется симисторным регулятором, расположенным на щите. Перед входом в колонну 5 установлен

					ВР – НГТУ – М19ТМО – 000 – 21	Лист
Изм.	Лист	№ докум.	Подпись	Дата		22









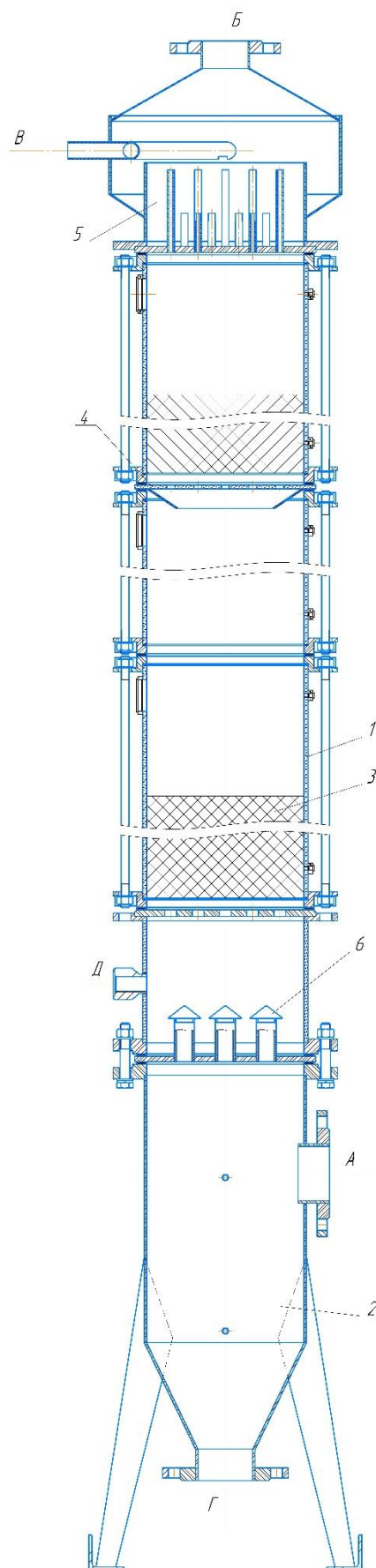


Рисунок 2.3 – Лабораторная колонна абсорбции:  
 1 – тарга; 2 – кубовая часть колонны; 3 – слой насадки; 4 – опорная решетка (перераспределитель); 5 – распределитель жидкости; 6 – распределитель газа.

Изм.	Лист	№ докум.	Подпись	Дата

ВР – НГТУ – М19ТМ0 – 000 – 21

Лист

26





Были проведены ряд экспериментов, по результатам которых были построены экспериментальные зависимости гидравлического сопротивления слоя от фиктивной скорости газа в колонне. Также был проведен теоретический расчет гидравлического сопротивления слоя сухой насадки.

### 2.6.1.1 Обработка экспериментальных данных по гидравлическому сопротивлению слоя сухой насадки

Расчет производится по [18].

Результаты измерений по показаниям приборов приведены в таблице 2.2.

Таблица 2.2 – Данные эксперимента на сухой насадке

№	$\Delta H_{\text{дн}}$	$t_1$	$t_2$	$\Delta p_{\text{сух}}$
	см вод. ст.	°С	°С	мм вод. ст.
1	0,55	23,00	26,00	3,00
2	0,7	23,00	25,00	4,50
3	0,85	23,00	24,00	6,50
4	0,95	23,00	23,30	8,00
5	1,2	23,00	23,10	10,50
6	1,35	23,20	22,90	12,50
7	1,55	23,20	22,80	14,50

Обработку экспериментальных данных следует начинать с определения физических характеристик воздуха и воды при средних значениях параметров (давления и температуры).

В связи с тем, что температура воздуха при прохождении колонны изменяется вследствие испарения остаточной влаги с поверхности насадки, следует усреднять значения температур  $t_1$  и  $t_2$ :

$$t = (t_1 + t_2)/2 \quad (2.1)$$

$$t = (23 + 26)/2 = 24,5^\circ\text{C}.$$

Полное давление воздуха в слое насадки составляет:

$$\Pi = B + \Delta p / 2, \quad (2.2)$$

где  $B$  – барометрическое давление, равное  $B = 760$  мм рт. ст.,  $\Delta p$  – перепад давления в слое насадки,  $\Delta p = 10$  мм вод. ст. = 0,736 мм рт. ст.,

$$\Pi = 760 + 0,736 / 2 = 760,368 \text{ мм рт. ст.}$$

Расход воздуха, приведенный к рабочим условиям, составит:

$$V = V_0 \frac{T B_0}{T_0 \Pi}, \quad (2.3)$$

$$V = 0,02008 \frac{297,5 \cdot 760}{273 \cdot 760,368} = 0,0219 \text{ м}^3/\text{с}.$$

Плотность воздуха:



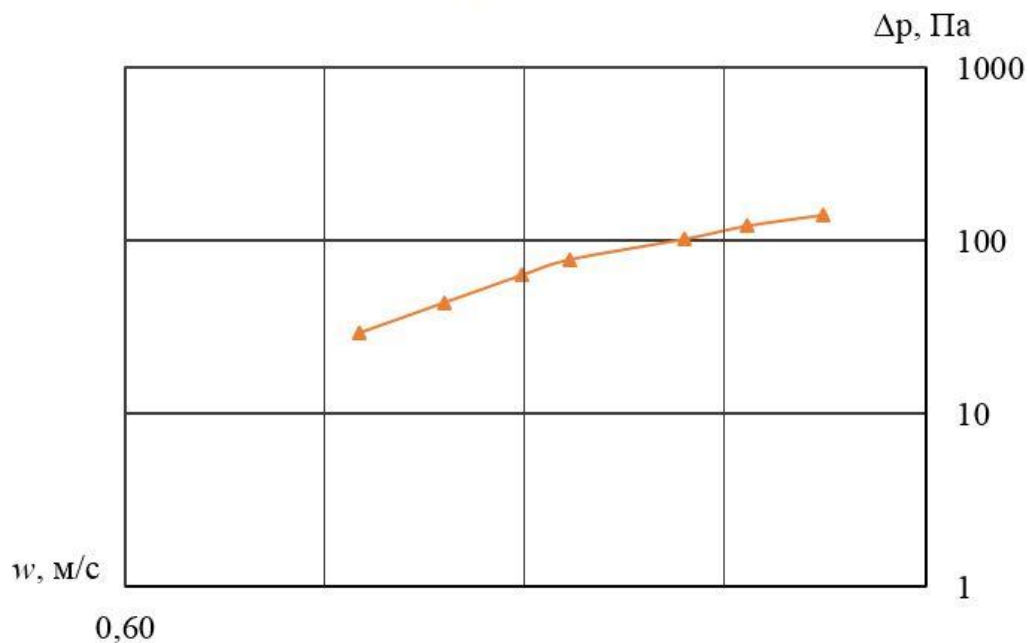


Рисунок 2.5 – Экспериментальная зависимость гидравлического сопротивления сухой насадки от скорости газа

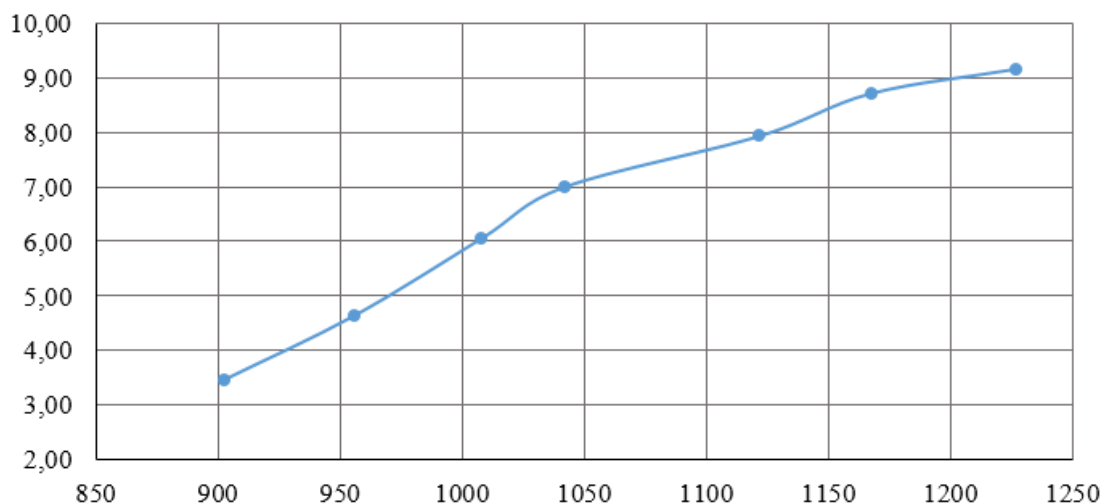


Рисунок 2.6 – Зависимость коэффициента гидравлического сопротивления от критерия Рейнольдса

### 2.6.1.2 Определение теоретической зависимости гидравлического сопротивления сухой насадки от фиктивной скорости газа в колонне

Для сравнения опытных данных был проведен расчет теоретического значения гидравлического сопротивления слоя сухой насадки. Согласно [19], оно определяется:

$$\Delta p_{\text{сух}} = \zeta \frac{H}{d_{\text{экв}}} \cdot \frac{\rho_{\text{возд}} w^2}{2\varepsilon^2}, \quad (2.8)$$

где  $d_{\text{экв}}$  – эквивалентный диаметр насадки,  $d_{\text{экв}} = 0,015$  м,  $H$  – высота слоя насадки,  $H = 0,24$  м,  $\zeta$  – коэффициент сопротивления, для колец Рашига при  $Re < 2100$ , определяется:

$$\zeta = \frac{34,6}{Re^{0,307}}, \quad (2.9)$$

$$\zeta = \frac{34,6}{902^{0,307}} = 4,28,$$

$$\Delta' p_{\text{сух}} = 4,28 \frac{0,24}{0,015} \cdot \frac{1,187 \cdot 0,7^2}{2 \cdot 0,74^2} = 34,2 \text{ Па.}$$

Сравнительные данные гидравлического сопротивления по сухой насадке приведены на рисунке 2.7.

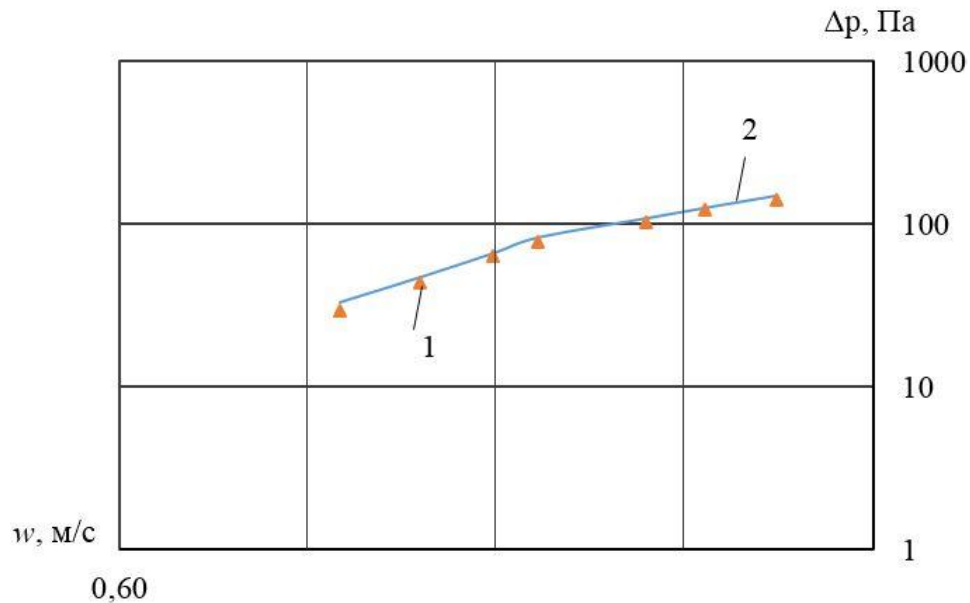


Рисунок 2.7 – Гидравлическое сопротивление сухой насадки колец Рашига: 1 – экспериментальные точки, 2 – теоретическая кривая.

При проведении эксперимента на сухой насадке кольца Рашига выявлена принципиальная сходимость гидравлических характеристик с литературными данными.

### 2.6.2 Определение гидродинамических и массообменных характеристик слоя орошаемой керамической насадки типа кольца Рашига 25x25.

В орошаемом режиме одновременно проводят измерения гидродинамических и массообменных характеристик.

Эксперимент проводится при трех разных расходах воды. При одном значении расхода воды устанавливают разные значения расхода газа. Результаты измерений по показаниям приборов заносят в таблицу. Далее строят графические зависимости гидравлического сопротивления от скорости газа, а также зависимость коэффициента массоотдачи от скорости газа и расхода жидкости. Для получения сравнительной характеристики был

проведен теоретический расчет гидравлического сопротивления орошаемой насадки.

### 2.6.2.1 Обработка экспериментальных данных по гидравлическому сопротивлению на орошаемой насадке

Расчет производится по [18].

Результаты измерений по показаниям приборов для расхода жидкости 0,0835 м<sup>3</sup>/ч приведены в таблице 2.4.

Таблица 2.4 – Данные эксперимента на орошаемой насадке при расходе жидкости 0,0835 м<sup>3</sup>/ч

№	$\Delta H_{\text{дн}}$	$t_1$	$\varphi$	$t_2$	$\varphi$	$\Delta p_{\text{ор}}$
	см вод. ст	°С	%	°С	%	мм вод.ст.
1	0,35	25	56	23,7	100	3
2	0,55	25	56	23,5	100	6
3	0,75	25	56	23,3	100	9
4	1	25	56	23,3	100	12,5
5	1,25	25	55	22,9	100	15

При обработке опытных данных по гидравлическому орошаемой насадки первая часть расчета аналогична расчету сухой насадки.

$$t = (t_1 + t_2)/2$$

$$t = (25 + 23,5)/2 = 24,25^\circ\text{С.}$$

Полное давление воздуха в слое насадки составляет:

$$\Pi = B + \Delta p / 2,$$

где  $B$  – барометрическое давление, равное  $B = 760$  мм рт. ст.,  $\Delta p$  – перепад давления в слое насадки,  $\Delta p = 20$  мм вод. ст. = 1,47 мм рт. ст.,

$$\Pi = 760 + 1,47 / 2 = 760,736 \text{ мм рт. ст.}$$

Расход воздуха, приведенный к рабочим условиям, составит:

$$V = V_0 \frac{T B_0}{T_0 \Pi},$$

$$V = 0,02008 \frac{297,25 \cdot 760}{273 \cdot 760,736} = 0,0218 \text{ м}^3/\text{с.}$$

Плотность воздуха:

$$\rho_r = \rho_0 \frac{T_0 \Pi}{T B_0},$$

$$\rho_r = 1,293 \frac{273 \cdot 760,736}{297,25 \cdot 760} = 1,189 \text{ кг/м}^3.$$

По расходу газа рассчитываем приведенную к сечению колонны скорость газа:

$$w = V/S,$$



где  $S = 0,0314 \text{ м}^2$  – площадь поперечного сечения лабораторной колонны,  
 $w = 0,0218/0,0314 = 0,7 \text{ м/с}$ .

Массовый расход воды:

$$L = V_B \rho_B, \quad (2.10)$$

где  $\rho_B$  – плотность воды при температуре  $t$ ,

$$L = 0,0835 \cdot 993,7 = 82,995 \text{ кг/ч.}$$

По расходу воды рассчитываем плотность орошения:

$$U = L/S, \quad (2.11)$$

$$U = 82,995/0,0314 = 2643,2 \text{ кг/(ч} \cdot \text{м}^2\text{)}.$$

Для остальных точек, а также для опытных данных при других значениях расхода воды расчет аналогичен. Полученные результаты сводим в таблицу и по ее данным строим график  $\Delta p_{\text{ор}} = f(w)$  в логарифмической координатной сетке (рисунок 2.8).

Таблица 2.5 – Данные обработки результатов опытов по определению гидравлического сопротивления орошаемой насадки

$\Delta H$	$T$	$\Pi$	$V$	$\rho_r$	$w$	$\Delta p_{\text{ор}}$	$V_0$	$L$	$U$	$\rho_B$
мм вод.ст.	°C	мм рт.ст.	м <sup>3</sup> /с	кг/м <sup>3</sup>	м/с	мм вод.ст.	нм <sup>3</sup> /с	м <sup>3</sup> /ч	кг/(ч·м <sup>2</sup> )	кг/м <sup>3</sup>
3,50	297,35	760,368	0,0201	1,188	0,64	10	0,0185	82,98	2642,7	993,56
5,50	297,25	760,736	0,0218	1,189	0,70	20	0,02008	82,995	2643,2	993,72
7,50	297,15	761,103	0,0235	1,190	0,75	30	0,0216	83,03	2644,4	994,17
10,00	297,15	761,532	0,0255	1,190	0,81	41,7	0,0235	83,045	2644,7	994,31
12,50	296,95	761,839	0,0273	1,192	0,87	50	0,0252	83,086	2646,1	994,81

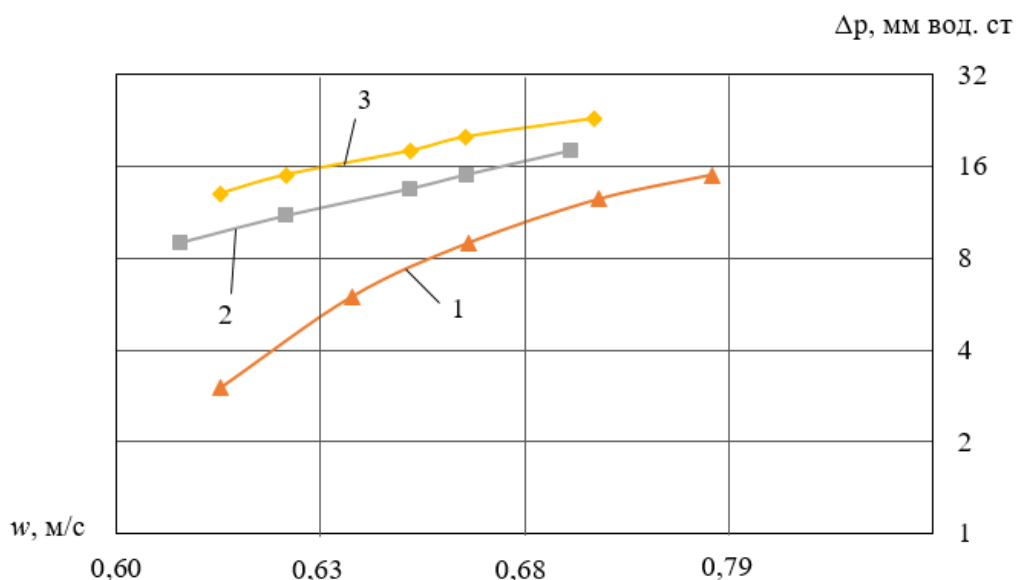


Рисунок 2.8 – Экспериментальная зависимость гидравлического сопротивления орошаемой насадки от скорости газа:

1 – расход воды  $0,0835 \text{ м}^3/\text{ч}$ , 2 – расход воды  $0,149 \text{ м}^3/\text{ч}$ , 3 – расход воды  $0,21 \text{ м}^3/\text{ч}$

Для определения массообменных характеристик используют данные опытов из таблицы 2.4. По относительной влажности воздуха из таблицы П.7



Таблица 2.6 – Данные расчета массообменных характеристик

$p_1$	$p_{н1}$	$p_2$	$p_{н2}$	$\Delta p_{ср}$	$\beta_{pV}$	$\beta_{гV}$
мм вод. ст.	мм вод. ст.	мм вод. ст.	мм вод. ст.	мм вод. ст.	кг/(м <sup>3</sup> ·мм вод. ст.·с)	с <sup>-1</sup>
182,29	325,52	301,04	301,04	71,61	$3,31 \cdot 10^{-4}$	4,24
182,29	325,52	297,42	297,42	71,61	$3,49 \cdot 10^{-4}$	4,59
182,29	325,52	293,84	293,84	71,61	$3,64 \cdot 10^{-4}$	4,79
182,29	325,52	293,84	293,84	71,61	$3,95 \cdot 10^{-4}$	5,22
179,03	325,52	286,79	286,79	73,24	$3,998 \cdot 10^{-4}$	5,59

По результатам расчета строим графики  $\beta_{гV} = f(w)$  (рисунок 2.9),  $\beta_{гV} = f(L)$  (рисунок 2.10).

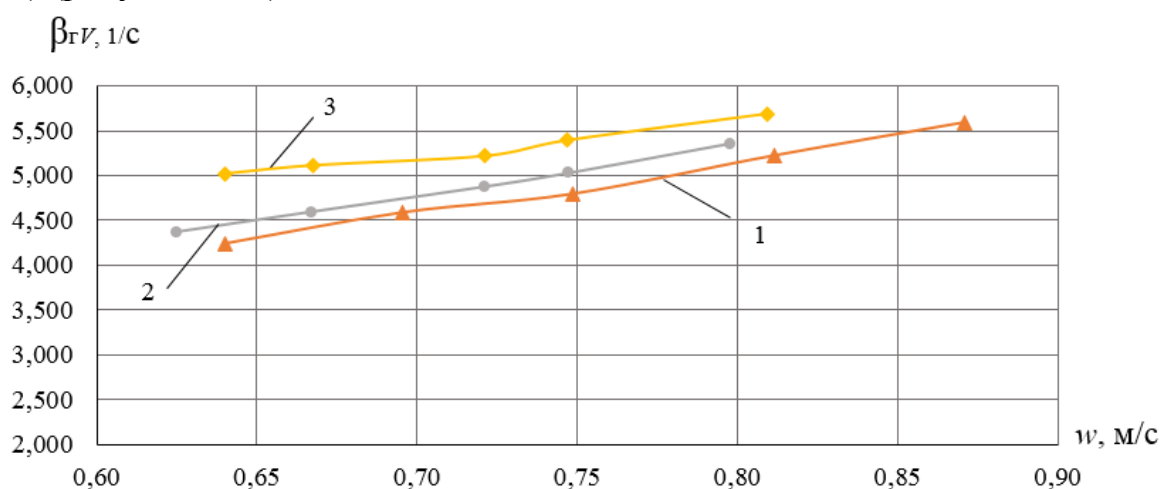


Рисунок 2.9 – Зависимость коэффициента массоотдачи от фиктивной скорости газа:

1 - расход воды 0,0835 м³/ч, 2 – расход воды 0,149 м³/ч, 3 – расход воды 0,21 м³/ч

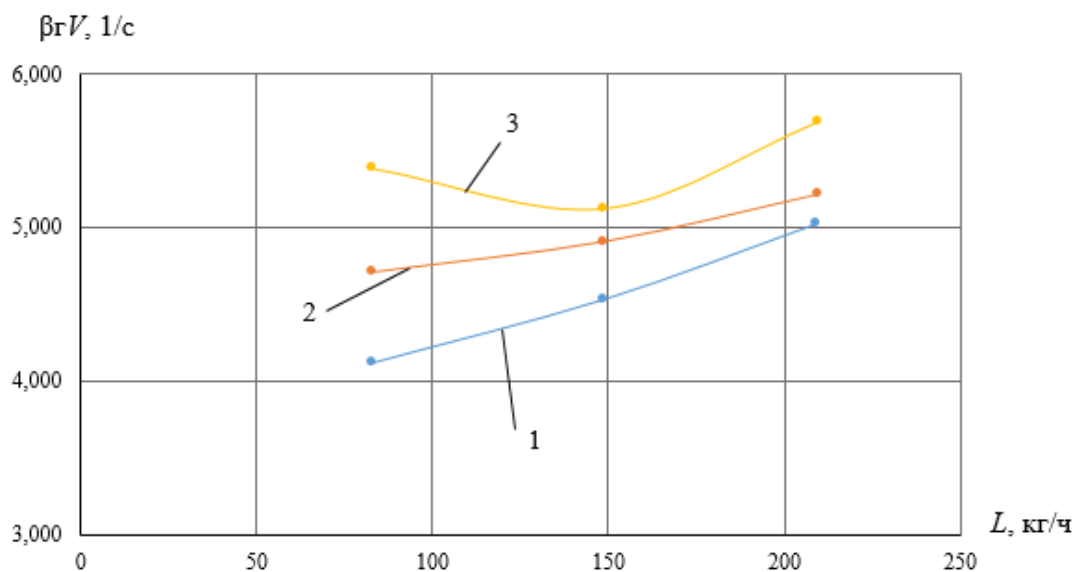


Рисунок 2.10 – Зависимость коэффициента массоотдачи от массового расхода жидкости:

1 – при орошении 0,266 м³/ч; 2 – при орошении 0,476 м³/ч; 3 – при орошении 0,669 м³/ч

Изм.	Лист	№ докум.	Подпись	Дата
------	------	----------	---------	------



$$W_r = \frac{\bar{G}}{3600S}, \quad (2.22)$$

где  $S$  – площадь сечения абсорбера,  $\text{м}^2$ .

Площадь сечения абсорбера

$$S = \frac{\pi D^2}{4} = \frac{3,14 \cdot 0,2^2}{4} = 0,0314 \text{ м}^2, \quad (2.23)$$

$$W_r = \frac{93,6}{3600 \cdot 0,0314} = 0,828 \text{ кг}/(\text{м}^2 \cdot \text{с}),$$

$$\text{Re}_r = \frac{4 \cdot 0,828}{200 \cdot 1,8325 \cdot 10^{-5}} = 904.$$

Исходя из значения коэффициента Рейнольдса и вида насадки определяются коэффициенты  $A = 40,73$  и  $b = 0,307$  [20].

Подставив найденные значения в (2.20) определим коэффициент сопротивления сухой насадки:

$$\xi_0 = \frac{40,73}{904^{0,307}} = 5,04,$$

$$\Delta p_{\text{сух}} = 5,04 \frac{0,24}{0,015} \frac{1,189}{2} \left( \frac{0,828}{0,74} \right)^2 = 60 \text{ Па}.$$

Сопротивление орошаемого слоя:

$$\Delta p = 60 \cdot 1,93 = 115,8 \text{ Па}.$$

Данное значение сильно расходится с опытным значением сопротивления. Однако, при построении графика выяснилось, что следующие точки достаточно близки. График зависимости гидравлического сопротивления орошаемой насадки от фиктивной скорости газа приведен на рисунке 2.11.

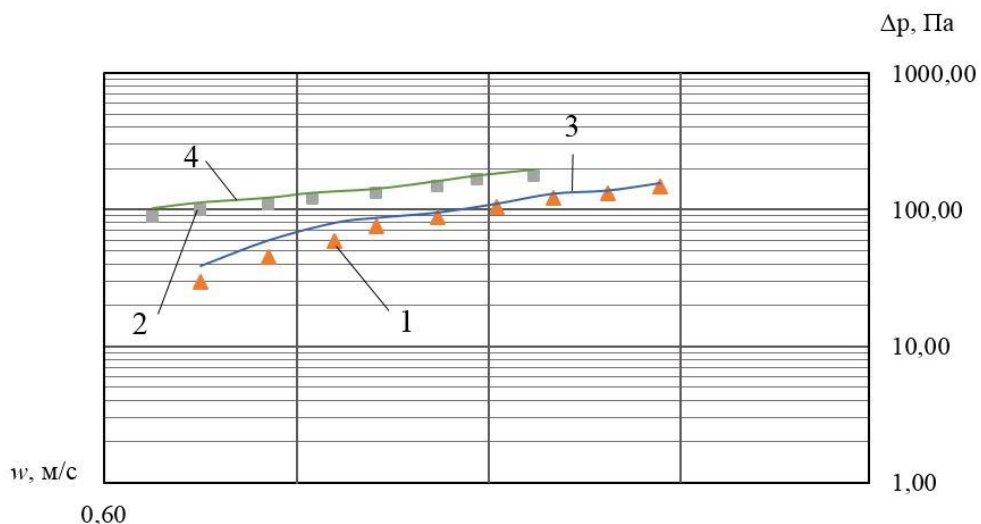


Рисунок 2.11 – Сравнение экспериментальных и теоретических гидравлических характеристик:

1 – экспериментальные точки при расходе жидкости  $0,0835 \text{ м}^3/\text{ч}$ , 2 – экспериментальные точки при расходе жидкости  $0,149 \text{ м}^3/\text{ч}$ , 3 – теоретическая кривая при расходе жидкости  $0,0835 \text{ м}^3/\text{ч}$ , 4 – теоретическая кривая при расходе жидкости  $0,149 \text{ м}^3/\text{ч}$











где  $L$  – объем воздуха, удаленного из помещения, м<sup>3</sup>. Определяется из выражения:

$$L = F \cdot v \cdot 3600, \quad (2.25)$$

где  $F = 7,96$  м<sup>2</sup> – площадь проемов, через которые засасывается воздух;  
 $v = 0,15$  м/с – скорость воздуха.

$V$  – объем помещения, м<sup>3</sup>. У рассматриваемого помещения  $V = 436,8$  м<sup>3</sup>.

$$L = 3,98 \cdot 0,15 \cdot 3600 = 1194 \frac{\text{м}^3}{\text{ч}},$$

$$K = \frac{1194}{436,8} = 2,73 \text{ ч}^{-1}.$$

Рабочая кратность воздухообмена принимается 4 ч<sup>-1</sup>.

## 2.8.4 Шум и вибрация

### Характеристика шума и вибрации

Источником шума при проведении лабораторных испытаний являются насос, вентилятор. По характеру спектра шум широкополосный, по временным характеристикам – постоянный.

Источником вибрации при проведении экспериментов являются движущиеся части насоса, вентилятора. По способу передачи на человека вибрация – передающаяся через опорные поверхности.

Для снижения шума и вибрации вибрирующее оборудование расположено на резиновых амортизаторах.

### Величины параметров шума

Среднегеометрическая частота, Гц	63
Уровень звукового давления, Дб	86
Уровень звука и эквивалентный уровень звука, ДБА	78
Нормируемые величины параметров [28]	
Уровень звукового давления, Дб	94
Уровень звука и эквивалентный уровень звука, ДБА	80

Для снижения воздействия шума на обслуживающий персонал насос и вентилятор соединяются с трубопроводом эластичной вставкой и используются звукоизолирующие устройства. Также для защиты органов слуха используются средства индивидуальной защиты: наушники противושумные [32] и беруши из вспененного полиуретана [32].

### Величины параметров вибрации

Среднегеометрическая частота, Гц	8;
----------------------------------	----





- нельзя переносить с места на место включенные в электросеть приборы, а также ремонтировать приборы и оборудование, находящиеся под напряжением;

- в случае перерыва в подаче электроэнергии все электроприборы следует немедленно выключить.

Общие правила техники безопасности эксплуатации лабораторного стенда

При работе на лабораторном стенде необходимо соблюдать следующие правила техники безопасности:

1) запрещается приступать к работе без разрешения руководителя, включать без необходимости пусковые устройства, рубильники, кнопки, вращать маховики вентиляей;

2) при проведении лабораторной работы должны соблюдаться требования, изложенные в инструкции по технике безопасности в лаборатории «Машины и аппараты химических производств»

3) запрещается прикасаться к токоведущим проводам и частям электрооборудования, к вращающимся элементам насосно-компрессорного оборудования;

4) При поражении электрическим током, а также при получении травмы пострадавшему необходимо оказать первую помощь, сообщить руководителю и вызвать врача;

5) При обнаружении любой неисправности необходимо немедленно сообщить руководителю работ;

6) По окончании работ необходимо привести рабочее место в порядок и отключить стенд от сети.

#### Технологическая характеристика аппарата

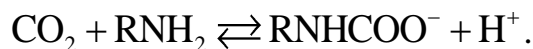
Вместимость (объем), м<sup>3</sup> 0,01;  
рабочее давление, МПа (абс) 0,1;  
среда в аппарате: обедненный моноэтаноламин, пары, смесь паров СО<sub>2</sub>, воды и моноэтаноламина;  
температура среды в аппарате °С, 50;  
материал, контактирующий с рабочей средой: сталь 12Х18Н10Т;  
материал уплотнительных прокладок: паронит ПОН.  
Габаритные размеры аппарата, мм:  
- диаметр 200;  
- высота 2420.  
Способ изготовления – сборный.





взаимодействия  $\text{CO}_2$  и МЭА, однако, как правило, моноэтаноламин реагирует с характерными признаками для аминосоединения.

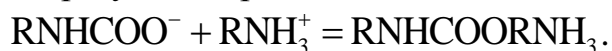
При относительно малых степенях карбонизации ( $\alpha < 0,5$  кмоль/кмоль) углекислый газ вступает в реакцию с водным раствором МЭА в основном с образованием замещенной карбаминовой кислоты:



В водном растворе моноэтаноламина равновесие устанавливается практически мгновенно:



В результате чего образуется карбаматмоноэтаноламмония:



Зависимость термодинамической постоянной диссоциации МЭА

$$K_{b,0} = \frac{[\text{RNH}_3^+][\text{OH}^-]}{[\text{RNH}_2]}$$

от температуры показана на рисунке 3.1. [34]

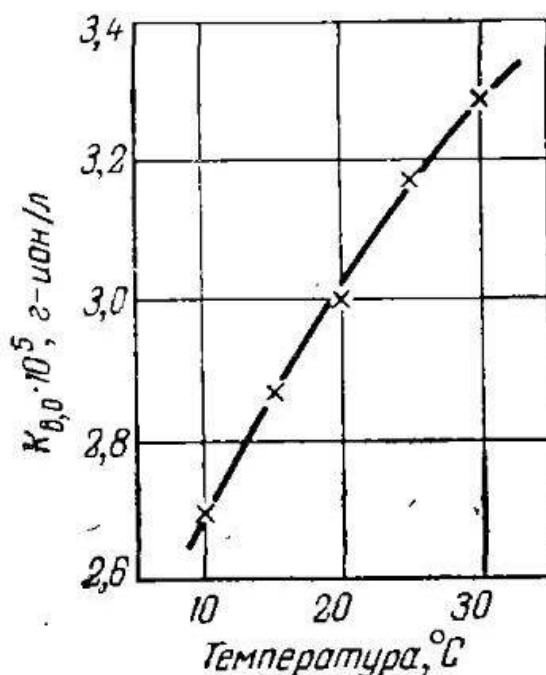


Рисунок 3.1 – Зависимость постоянной равновесия от температуры

Общую реакцию взаимодействия углекислого газа с моноэтаноламином по карбаматному механизму можно представить в виде:



где  $\gamma$  – степень диссоциации карбаминовой кислоты; для полной диссоциации  $1 + \gamma = 2$ , для частичной  $1 < (1 + \gamma) < 2$ .

Реакции, показанные на рисунке 3.2, являются определяющими для МЭА-очистки. Первая реакция включает в себя 90% всего процесса, а вторая примерно 10%.







Дополнительно в системе циркулирует связанный раствор  $(\text{RNH}_3)_2\text{CO}_3$ , который равен 12 кг/ч.

Масса компонентов после стадии абсорбции

$$m_{\text{CO}_2} = 8,9 - M'(\text{CO}_2) = 8,9 - 6,68 = 2,22 \text{ кг/ч}; \quad (3.20)$$

$$m_{\text{H}_2\text{O}} = 79,1 - M'(\text{H}_2\text{O}) = 79,1 - 2,74 = 76,4 \text{ кг/ч};$$

$$m_{\text{RNH}_2} = 30,9 - M'(\text{RNH}_2) = 30,9 - 18,5 = 12,4 \text{ кг/ч}; \quad (3.21)$$

$$m_{(\text{RNH}_3)_2\text{CO}_3} = 28 \text{ кг/ч}. \quad (3.22)$$

Материальный баланс химического процесса в абсорбере представлен в таблице 3.1.

Таблица 3.1 – Материальный баланс химического процесса учета инертов

Наименование компонента	Приход			Наименование компонента	Расход		
	$m_i$ , кг/ч	$x_i$ , %	$n_i$ , кмоль/ч		$m_j$ , кг/ч	$x_j$ , %	$n_j$ , кмоль/ч
$\text{CO}_2$	8,92	6,81	0,202	$\text{CO}_2$	2,22	1,69	0,0506
$\text{RNH}_2$	30,9	23,6	0,507	$\text{RNH}_2$	12,4	9,47	0,203
$\text{H}_2\text{O}$	79,1	60,4	4,39	$\text{H}_2\text{O}$	76,4	58,3	4,24
Связан. р-р	12	9,2		Связан. р-р $(\text{RNH}_3)_2\text{CO}_3$	12	9,16	
					28	21,4	0,152
Всего	<b>131</b>	100		Всего	<b>131</b>	100	

Схема работы абсорбера представлена на рисунке 3.3. На ней указаны основные потоки (с номерами, соответствующими схеме), входящие в аппарат и выходящие из него.

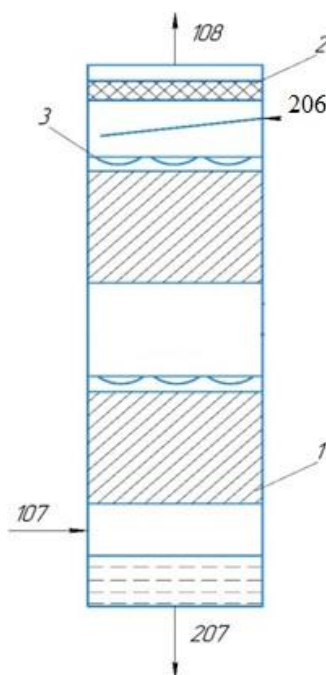


Рисунок 3.3 – Схема работы абсорбера с потоками

1 – слой насадки; 2 – каплеотбойник; 3 – желобчатый ороситель; 206, 207 – потоки моноэтаноламина (МЭА); 107, 108 – потоки газовой фазы.

Изм.	Лист	№ докум.	Подпись	Дата
------	------	----------	---------	------













$$W_r = \frac{\bar{G}}{3600S}, \quad (3.45)$$

где  $S$  – площадь сечения абсорбера,  $\text{м}^2$ .

Площадь сечения абсорбера

$$S = \frac{\pi D^2}{4} = \frac{3,14 \cdot 0,2^2}{4} = 0,0314 \text{ м}^2. \quad (3.46)$$

$$W_r = \frac{100}{3600 \cdot 0,0314} = 0,885 \text{ кг}/(\text{м}^2 \cdot \text{с}).$$

$$\text{Re}_r = \frac{4 \cdot 0,885}{263 \cdot 1,8 \cdot 10^{-5}} = 748.$$

Исходя из значения коэффициента Рейнольдса и вида насадки определяются коэффициенты  $A = 40,73$  и  $b = 0,307$  [19].

Подставив найденные значения в (3.43) определим коэффициент сопротивления сухой насадки.

$$\xi_0 = \frac{40,73}{748^{0,307}} = 5,34.$$

$$\Delta p_{\text{сух}} = 5,34 \frac{0,24}{0,015} \frac{1,13}{2} \left( \frac{0,885}{0,74} \right)^2 = 69 \text{ Па}.$$

По зависимости В.В. Кафарова приближенно рассчитаем сопротивление слоя орошаемой насадки, учитывающую нагрузку по газу и жидкости, а также физические свойства сред [19].

$$\Delta p = \Delta p_{\text{сух}} K, \quad (3.47)$$

где  $K$  – коэффициент, для систем газ-жидкость, определяется как

$$K = 1 + 8,4 \left( \frac{\bar{L}}{\bar{G}} \right)^{0,405} \left( \frac{\rho_r}{\rho_{\text{ж}}} \right)^{0,235} \left( \frac{\mu_{\text{ж}}}{\mu_r} \right)^{0,045} \quad (3.48)$$

при

$$\left( \frac{\bar{L}}{\bar{G}} \right)^{1,8} \left( \frac{\rho_r}{\rho_{\text{ж}}} \right) \left( \frac{\mu_{\text{ж}}}{\mu_r} \right)^{0,2} < 0,5, \quad (3.49)$$

где  $\mu_{\text{воды}}$  – динамическая вязкость воды при температуре  $t = 50 \text{ }^\circ\text{C}$ ,  $\mu_{\text{воды}} = 54,9 \cdot 10^{-5} \text{ Па} \cdot \text{с}$  [21].

$$\left( \frac{122}{100} \right)^{1,8} \left( \frac{1,13}{1099} \right) \left( \frac{54,9 \cdot 10^{-5}}{1,8 \cdot 10^{-5}} \right)^{0,2} = 0,003 < 0,5.$$

$$K = 1 + 8,4 \left( \frac{122}{100} \right)^{0,405} \left( \frac{1,13}{1099} \right)^{0,235} \left( \frac{54,9 \cdot 10^{-5}}{1,8 \cdot 10^{-5}} \right)^{0,045} = 3,103.$$

Подставив полученные данные в (3.55), получим следующие значения гидравлического сопротивления насадки

$$\Delta p = 69 \cdot 3,103 = 214,1 \text{ Па}.$$

										Лист
										58
Изм.	Лист	№ докум.	Подпись	Дата						

### 3.1.1.6 Расчет штуцеров

В лабораторной колонне штуцера будут заменены патрубками, к которым хомутами будут присоединяться шланги.

Диаметр штуцера для входа газа с содержанием  $\text{CO}_2$  в абсорбер

$$D = \sqrt{\frac{4L}{\pi w \rho_{\text{газ}}}} = \sqrt{\frac{4 \cdot 0,0278}{3,14 \cdot 15 \cdot 1,13}} = 0,0457 \text{ м}, \quad (3.50)$$

где  $w$  – скорость газа на входе в абсорбер принимается согласно [37],  $w = 15$  м/с.

Диаметр штуцера для выхода газа

$$D = \sqrt{\frac{4L}{\pi w \rho_{\text{газ}}}} = \sqrt{\frac{4 \cdot 0,0259}{3,14 \cdot 13 \cdot 1,13}} = 0,0474 \text{ м}. \quad (3.51)$$

Диаметра штуцера для входа МЭА

$$D = \sqrt{\frac{4G_0}{\pi w \rho_{\text{жид}}}} = \sqrt{\frac{4 \cdot 0,0339}{3,14 \cdot 0,5 \cdot 1099}} = 0,00887 \text{ м}. \quad (3.52)$$

где  $w$  – скорость МЭА на входе в абсорбер принимается согласно [9],  $w = 0,5$  м/с.

Диаметра штуцера для выхода МЭА

$$D = \sqrt{\frac{4G_0}{\pi w \rho_{\text{жид}}}} = \sqrt{\frac{4 \cdot 0,0339}{3,14 \cdot 1 \cdot 1099}} = 0,00627 \text{ м}. \quad (3.53)$$

Полученные данные по диаметрам штуцеров приводим к стандартным значениям труб [38] и заносим в таблицу 3.2.

Таблица 3.2 – Таблица штуцеров для абсорбционной колонны

Наименование штуцера	Расход сред, кг/с	Плотность сред, кг/м <sup>3</sup>	Скорость, м/с	Количество	Диаметр, мм	
					Расчётный	Принятый
Вход газа	0,0278	1,13	15	1	46	70
Выход газа	0,0259	1,13	13	1	48	60
Вход МЭА	0,0339	1099	1	1	9	20
Выход МЭА	0,0339	1099	1	1	6	70





$$[\sigma]_{\text{гр}} = \frac{0,833 \cdot 66}{1,1} = 50 \text{ МПа.}$$

Общее значение прибавки к расчётной толщине стенки:

$$c = c_1 + c_2 + c_3 = 0 \text{ мм,}$$

где  $c_1$  – прибавка для компенсации коррозии и эрозии не учитывается ввиду коррозионной устойчивости органического стекла;

$c_2$  – прибавка для компенсации минусового допуска, не учитывается из-за малых габаритов аппарата;

$c_3$  – прибавка для компенсации утонения стенки при технологических операциях.

Расчетная толщина стенки обечайки в условиях гидроиспытаний:

$$s_{\text{гр}} = \frac{0,021 \cdot 200}{2 \cdot 50 - 0,021} = 0,042 \text{ мм.}$$

Принимаем стандартную толщину стенки обечайки  $s = 5 \text{ мм.}$

### 3.1.2.2 Расчет внутреннего объема аппарата

Для расчета внутреннего объема аппарата необходимо определить объем внутренней полости и вычесть объем внутренних устройств.

Объем внутренней полости аппарата определяется

$$V_{\text{П}} = \left( \sum_{i=1}^5 H_i + \sum_{i=1}^5 H_{\text{П}i} \right) \frac{\pi D^2}{4}, \quad (3.58)$$

где  $H_{\text{П}i}$  – толщина промежутков между царгами (или царгой и основанием).

$$V_{\text{П}} = \frac{(430 \cdot 3 + 530 + 175 + 183 + 3 + 3 + 3 + 3 + 3 + 3) \frac{3,14 \cdot 200^2}{4}}{10^9} = 0,069 \text{ м}^3.$$

Все внутренние устройства за исключением насадки являются тонкостенными и не занимают более 5 – 10 % внутренней части аппарата. Поэтому их величины объема не учитываются для дальнейшего расчета.

Полный объем жидкости:

$$V_o = V_{\text{П}} \frac{(100 - n_{\text{уст}})}{100} - \frac{\pi D^2}{4} H_{\text{сл}} (1 - \varepsilon), \quad (3.59)$$

$$V_o = 0,069 \frac{(100 - 7,5)}{100} - \frac{3,14 \cdot 0,2^2}{4} 0,48(1 - 0,74) = 0,0599 \text{ м}^3.$$

### 3.1.2.3 Определение массы аппарата

Наибольшую массу аппарат имеет во время гидроиспытаний.

Суммарная масса аппарата определяется:

$$M_A = M_{\text{Э}} + M_{\text{Н}} + M_{\text{Ж}}, \quad (3.60)$$

где  $M_{\text{Э}}$  – масса элементов аппарата, кг;

					Лист
					62
Изм.	Лист	№ докум.	Подпись	Дата	ВР – НГТУ – М19ТМО – 000 – 21

$M_H$  – масса насадки, кг;

$M_{ж}$  – масса жидкости, кг.

Масса жидкости определяется:

$$M_{ж} = V_0 \rho_{ж}, \quad (3.61)$$

где  $\rho_{ж}$  – плотность воды при гидроиспытании,  $\rho_{ж} = 997$  кг/м<sup>3</sup>.

$$M_{ж} = 0,0599 \cdot 997 = 59,7 \text{ кг.}$$

Масса насадки определяется:

$$M_H = \frac{\pi D^2}{4} H_{сл} \gamma_H, \quad (3.62)$$

где  $\gamma_H$  – масса 1 м<sup>3</sup> насадки,  $\gamma_H = 530$  кг/м<sup>3</sup>.

$$M_H = \frac{3,14 \cdot 0,2^2}{4} 0,48 \cdot 530 = 8 \text{ кг.}$$

Масса элементов абсорбера складывается из массы царг, массы внутренних устройств и крепежных элементов (около 10 % от массы царг), массы основания. Массу аппарата, включая крепежные элементы возьмем из 3D-модели (рисунок 3.6).



Рисунок 3.6 – Масса колонны абсорбции по 3D – модели

В качестве опоры используются уголки (4 шт), которые привариваются к кубовой части аппарата. Длина уголков  $L_y = 400$  мм, погонная масса: 3,05 кг/м. Уголки крепятся на цилиндрической части куба, на расстоянии 180 мм от штуцера  $\Gamma$  (рисунок 3.7). Масса основания будет рассчитана с полной длиной уголков, а при расчете опор это пойдет в запас.







## 3.2 Прочностной анализ царги колонны абсорбции

Для проверки царги колонны на прочность был использован один из модулей программного комплекса «APM WinMachine». Перед проведением расчета была спроектирована 3D модель колонного аппарата. Полная модель колонны представлена на рисунке 3.8.

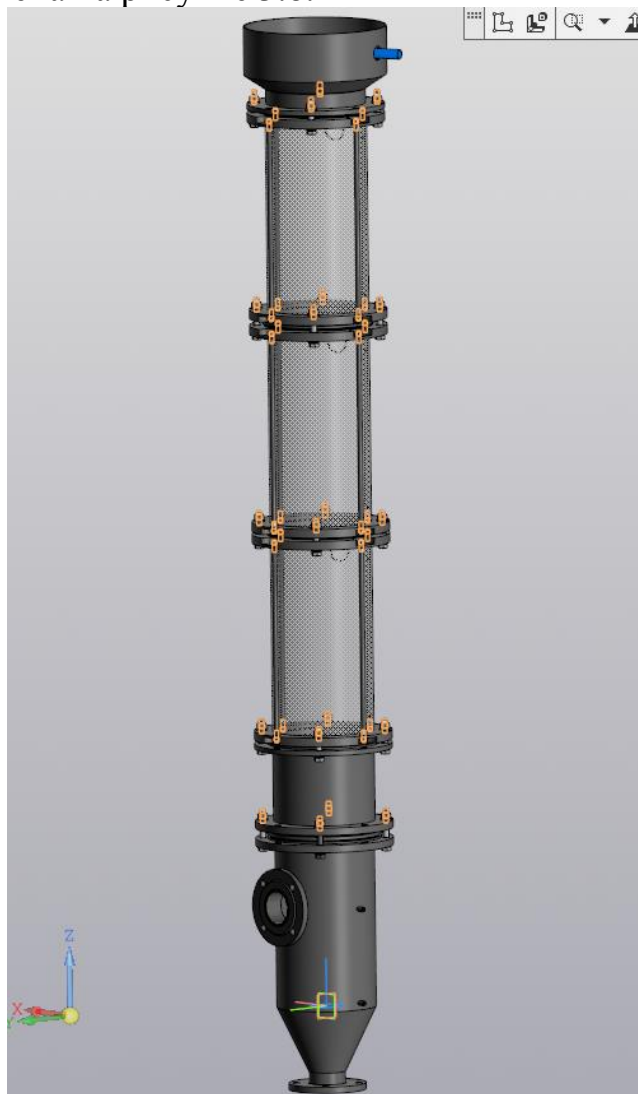


Рисунок 3.8 – Колонна абсорбции

### 3.2.1 Прочностной анализ в модуле APM Structure 3D

Основной моделью расчета будет являться модель царги колонны (самая нижняя), которая рассчитывается от осевой силы. На прочность будет проверяться именно часть из оргстекла, т.к. в ней имеются отверстия под штуцера.

Величина ячеек расчетной сетки является основным показателем соотношения скорости и качества проводимого расчета. Для проведения расчета был выбран размер сетки 2 мм. На рисунке 3.9 приведена модель с размерами КЭ сетки 2 мм.

					BP – НГТУ – М19ТМ0 – 000 – 21	Лист
Изм.	Лист	№ докум.	Подпись	Дата		66

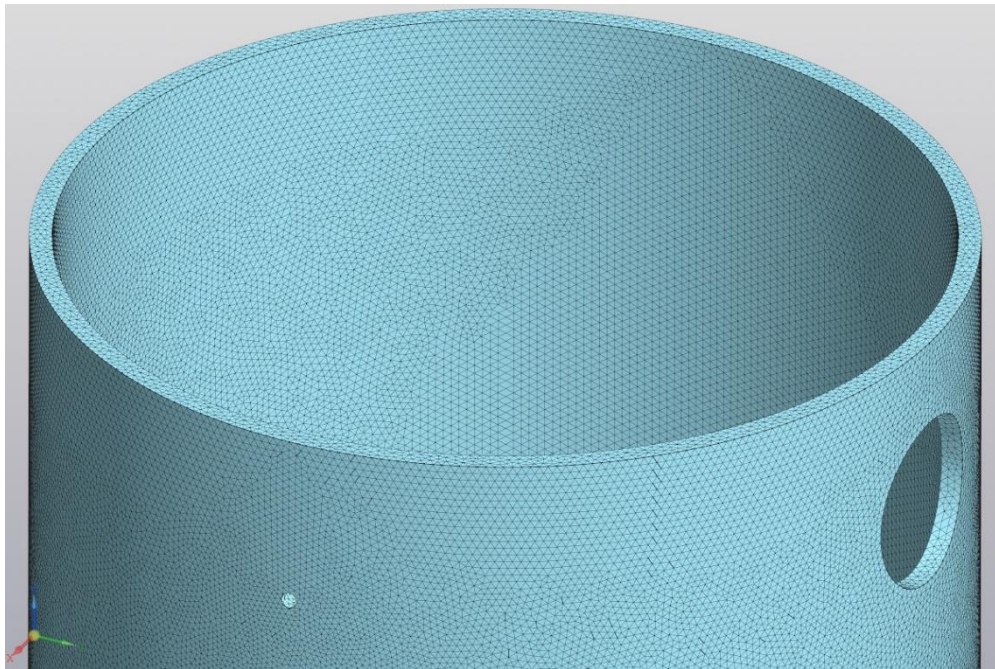


Рисунок 3.9 – КЭ сетка с размером кусков 2 мм

Для ячеек 2 мм был проведен расчет в программе APM Structure 3D. Модель была закреплена жесткой заделкой по нижней поверхности, осевая нагрузка была приложена сверху (рисунок 3.10). Величина осевой нагрузки это масса царг, расположенных выше при гидроиспытании - 628Н, а также болтовая стяжка – 400Н.

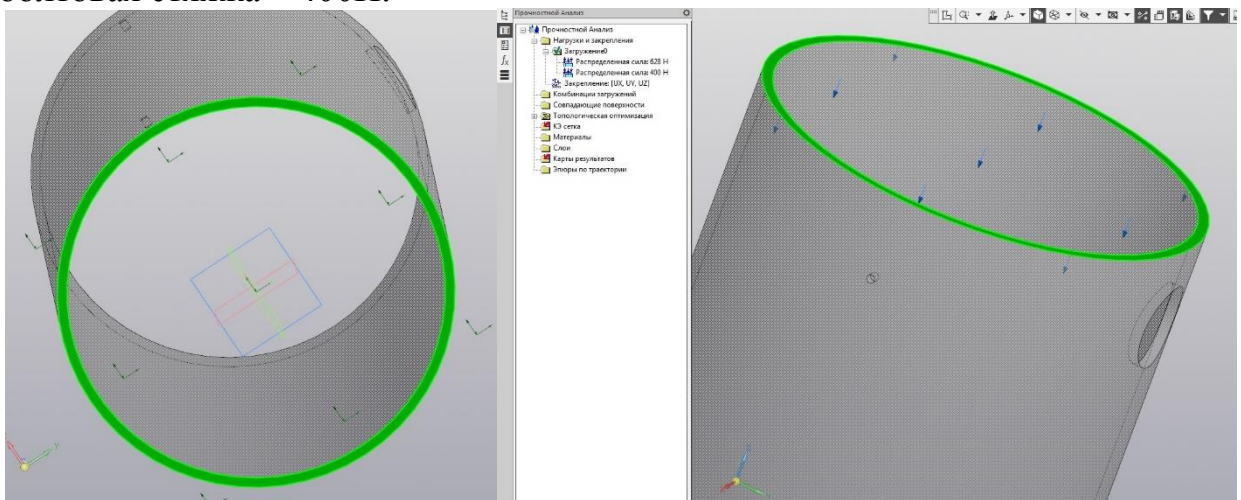


Рисунок 3.10 – Расположение закрепления и нагрузки

В результате расчета были получены результаты, представленные на рисунке 3.11.

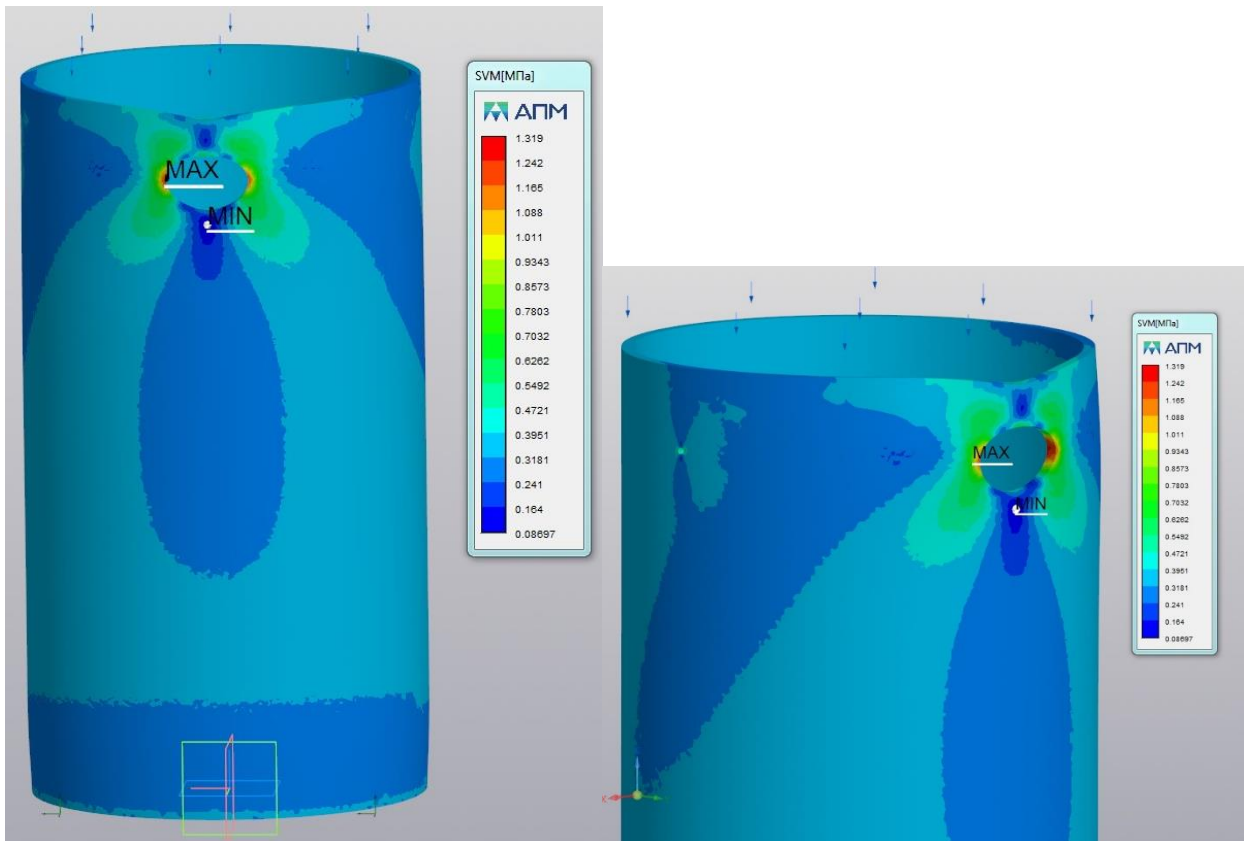


Рисунок 3.11 – Результаты расчета в программе APM Structure 3D

По полученным данным делаем вывод о том, что максимальные напряжения 1,3 МПа, возникающие в результате нагрузки – не являются опасными, т.е. не превышают допускаемое напряжение для органического стекла – 50 МПа. По карте результатов видно, что значительное увеличение напряжений приходится именно на отверстие.

Изм.	Лист	№ докум.	Подпись	Дата

## 4 ОРГАНИЗАЦИОННО – ЭКОНОМИЧЕСКАЯ ЧАСТЬ ИССЛЕДОВАТЕЛЬСКОЙ РАБОТЫ

### 4.1 График выполнения работ

Для организации проектирования установки, монтажа новых технических устройств и проведения экспериментов составляется график выполнения всего цикла работ. Продолжительность работ рассчитывается по теории вероятности на основе математической статистики.

Ожидаемое время выполнения работ определяется [42]:

$$t_{\text{ож}} = \frac{3a + 2b}{5}, \quad (4.1)$$

где  $a$  – минимальная длительность работ, в рабочих днях;

$b$  – максимальная длительность работ, в рабочих днях.

Данные по видам работ и их длительность заносим в таблицу 4.1:

Таблица 4.1 – Виды работ и затраты времени

№ п/п	Наименование работы	Исполнитель	Оценка длительности работы		
			$a$	$b$	$t_{\text{ок}}$
1	2	3	4	5	6
1	Получение задания	студент	0	0	0
2	Изучение задания	студент	1	2	1,4
3	Литературный обзор	студент	4	5	4,4
4	Обоснование выбора конструкции	студент	1	1,5	1,2
5	Проектировочный расчет	студент	7	8	7,4
6	Доработка чертежей	студент	14	18	15,6
7	Изготовление внутренних устройств аппарата	слесарь	5	6	5,4
8	Разработка методики проведения эксперимента	студент, инженер	3	4	3,4
9	Монтаж внутренних устройств в аппарате	студент, инженер	1	1,5	1,2
10	Подключение аппарата к схеме	электрик	1	1,5	1,2
11	Проведение экспериментов	студент, инженер	20	25	22
12	Ввод результатов экспериментов в ЭВМ	студент	2	3	2,4



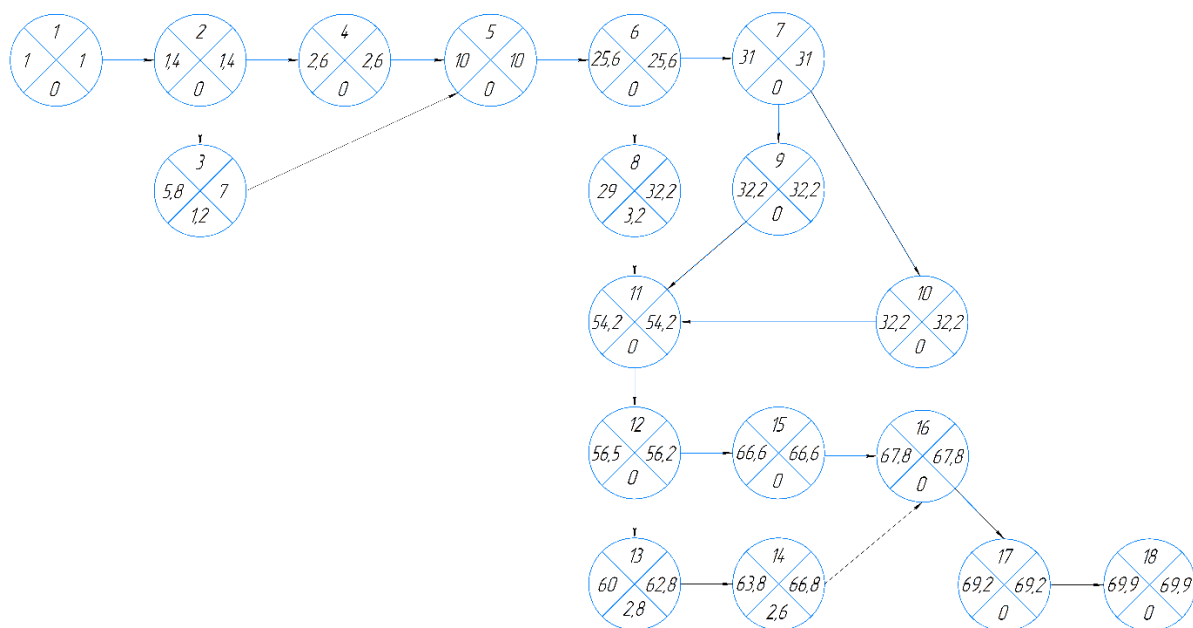


Рисунок 4.2 – Сетевой график

Таблица 4.2 – Время свершения событий

№ п/п	Наименование работы	$t_p$ , дней	$t_n$ , дней	$R$ , дней
1	2	3	4	5
1	Задание получено	0	0	0
2	Требования задания учтены	1,4	1,4	0
3	Литературный обзор выполнен	5,8	7	1,2
4	Выбор конструкции обоснован	2,6	2,6	0
5	Проектировочный расчет выполнен	10	10	0
6	Чертежи разработаны	25,6	25,6	0
7	Внутренние устройства изготовлены	31	31	0
8	Методика проведения экспериментов разработана	29	32,2	3,2
9	Внутренние устройства смонтированы	32,2	32,2	0
10	Аппарат подключен к схеме	32,2	32,2	0
11	Эксперименты проведены	54,2	54,2	0
12	Результаты экспериментов введены в ЭВМ	56,6	56,6	0
13	Результаты экспериментов обработаны	60	62,8	2,8
14	Графики оформлены	63,8	66,6	2,8
15	Записка оформлена	66,6	66,6	0
16	Проект утвержден	67,8	67,8	0
17	Подготовка к защите закончена	69,2	69,2	0
18	Защита проведена	69,9	69,9	0

На сетевом графике представлены все данные из таблицы 4.2.

Анализируя сетевой график выполнения работ, можно сделать вывод, что большинство событий лежит на критическом пути.

Критический путь:

1-2-4-5-6-7-9-11-12-15-16-17-18

Для выполнения всего комплекса работ по сетевому графику необходимо 69,9 рабочих дня или  $\frac{69,9 \cdot 7}{6} = 81,55 \approx 82$  календарных дня.

При анализе сетевого графика рассчитываем вероятность свершения конечного события в срок. Считается, что вероятность должна находиться в пределах [42]:

$$0,35 < P_K < 0,65.$$

При  $P_K < 0,35$  есть вероятность нарушения срока свершения заданного конечного события.

При  $P_K > 0,65$  работы критического пути имеют большие резервы.

Вероятность свершения завершающего события в заданный срок определяется по формуле [42]:

$$z = \frac{T_3 - T_K}{\sqrt{\sum_{ij} \sigma_{ij}^2}}, \quad (4.5)$$

где  $z$  – аргумент нормальной функции распределения вероятностей;

$T_3$  – заданный срок свершения конечного события,  $T_3 = 70$  дн.;

$T_K$  – срок свершения завершающего события,  $T_K = 69,9$  дн.;

$\sigma_{ij}^2$  – дисперсия работы, лежащей на критическом пути. Определяется по формуле (4.6)

$$\sigma_{ij}^2 = \sum 0,04(b-a)^2. \quad (4.6)$$

Рассчитав дисперсию на критическом пути, получим сумму

$$\begin{aligned} \sum \sigma_{ij}^2 &= 4,84; \\ z &= \frac{70 - 69,9}{\sqrt{4,84}} = 0,045. \end{aligned}$$

По таблице [42] определяем  $P_K = 0,53$ .

$$0,35 < P_K = 0,53 < 0,65.$$

Следовательно, график является напряженным.

## 4.2 Расчет полной себестоимости исследований

Экономическая часть включает в себя все необходимые расчеты непосредственных финансовых затрат на проектирование, монтаж и эксплуатацию лабораторной установки и как результат составление сметы затрат.

Затраты складываются из следующих пунктов:

										Лист
										72
Изм.	Лист	№ докум.	Подпись	Дата						



- 1) проектирование лабораторной установки:
  - затраты на канцелярские принадлежности (в т.ч. цифровые носители информации);
  - стоимость работ исследователей по проектированию установки и отчисления на социальное страхование;
- 2) монтаж лабораторной установки:
  - стоимость оборудования, устанавливаемого на ней;
  - стоимость материалов, узлов и приборов;
  - стоимость транспортных средств (принимается 9% от стоимости вышеперечисленных элементов);
  - стоимость услуг сторонних организаций;
  - затраты, связанные с использованием установки во время пуска и испытаний;
  - стоимость работ исследователей по испытаниям смонтированной установки и отчисления на социальное страхование;
- 3) проведение исследовательской работы:
  - затраты, связанные с использованием установки во время проведения исследовательской работы;
  - стоимость работ исследователей и отчисления на социальное страхование;
  - прочие расходы.

#### 4.2.1 Расчет затрат на проектирование лабораторной установки

На стадии проектирования реализуются выбор и обоснование конструкции основного аппарата (насадочной колонны), выбор вспомогательного оборудования и КИП, составление принципиальной технологической схемы лабораторной установки, все необходимые расчеты, подтверждающие надежность оборудования. Все это сопровождается созданием соответствующей конструкторской документации, что требует затрат на канцтовары, а также оплату труда по проектированию.

##### 4.2.1.1 Расчет затрат на канцелярские принадлежности

Статьи по этому разделу приведены в таблице 4.3

Таблица 4.3 – Затраты на канцтовары

Наименование продукции	Сумма, руб.
Бумага	250
Рукописные принадлежности (шариковые ручки, набор карандашей)	100
Носители информации (диски DVD)	100
Итого	450







Таблица 4.7 – Стоимость оборудования

№ п/п	Наименование	Количество	Ед. изм.	Цена единицы, руб.	Сумма, руб.
1	2	3	4	5	6
Трубы и арматура					
1	Труба DN15	10	п.м	47	470
2	Труба DN25	14	п.м	107	1498
3	Труба DN32	6	п.м	142	852
4	Клапан запорный с пневмоприводом KSHNFPA020 DN15	2	шт.	8594	17188
5	Клапан запорный с пневмоприводом KSHNFPA020 DN25	4	шт.	9642	38568
6	Кран шаровый DN15	3	шт.	519	1157
7	Кран шаровый DN25	4	шт.	1103	4412
8	Вентиль DN15	4	шт.	3500	14000
9	Вентиль DN25	4	шт.	5500	22000
10	Вентиль DN32	1	шт.	4000	4000
Итого					104145
Оборудование					
11	Фильтр ER-G100D25B130 1,5 BSP	1	шт.	4422	4422
12	Компрессор DENZEL PC2/100-370	1	шт.	21757	21757
13	Циркуляционный насос Grundfos UPS 25-40	2	шт.	5529	11028
14	Бак STPUT STW-002-000100	2	шт.	6210	12420
15	Скруббер ЦС №3	1	шт.	9057	9057
16	Колонна абсорбции К2	1	шт.	24100	24100
17	Колонна десорбции К3	1	шт.	8900	8900
18	Насос вихревой ВК-1/16	6	шт.	11100	66600
19	Холодильник воды Т2	1	шт.	5400	5400
20	Холодильник моноэтаноламина Т3	1	шт.	5720	5720
21	Рекуператор поточный	1	шт.	10300	10300
22	Ребойлер	1	шт.	14300	14300
23	Холодильник CO <sub>2</sub>	1	шт.	6400	6400
24	Холодильник водный	1	шт.	6500	6500
Итого					206904
Контрольно-измерительные приборы					
25	Регулятор ОВЕН ТРМ1	15	шт.	2820	42300
26	Датчик температуры ОВЕН ДТС054-50М.В3.60/1	10	шт.	1032	5160

Изм.	Лист	№ докум.	Подпись	Дата
------	------	----------	---------	------



#### 4.2.2.3 Расчет основной заработной платы исследователей в период испытаний установки

Длительность работ по испытанию лабораторной колонны составляет:

- у инженера 20 календарных дней;

- у преподавателя 10 рабочих дней или  $\frac{10 \cdot 7}{6} = 11,67$  календарных дня.

Таблица 4.9 – Затраты на заработную плату в период испытаний

Должность	Затрачено дней	Зарплата, руб/день	Сумма основной зарплаты, руб.
Инженер	20	600	12000
Преподаватель	11,67	820	9569,4
Итого:			21569,4

Сумма основной зарплаты инженера  $20 \cdot 600 = 12000$  руб.

Сумма основной зарплаты преподавателя  $11,67 \cdot 820 = 9569,4$  руб.

Сумма основной заработной платы на испытания лабораторной установки составляет 21569,4 руб.

#### 4.2.2.4 Расчет дополнительной заработной платы исследователей в период испытаний установки

Дополнительная заработная плата составляет 25% от основной заработной платы.

Сумма дополнительной зарплаты инженера  $12000 \cdot 0,25 = 3000$  руб.

Сумма дополнительной зарплаты преподавателя  $9569,4 \cdot 0,25 = 2392,4$  руб.

Таким образом, сумма дополнительной заработной платы на испытания лабораторной установки составляет 5392,4 рублей.

#### 4.2.2.5 Расчет отчислений на социальные нужды

Отчисления на социальные нужды составляют  $30 + (0,2 - 8,5)\%$  от основной и дополнительной заработной платы.

Принимаем отчисления на социальное страхование в размере 31% от основной и дополнительной заработной платы, т.е.

$$0,302 \cdot (21569,4 + 5392,4) = 8142 \text{ руб.}$$

#### 4.2.2.6 Расчет затрат, связанных с использованием установки во время испытаний

Учитывая характер исследовательской работы, стоит отметить, что расчет затрат, связанных с использованием установки, сводится к расчету затрат на электроэнергию, расход воды и моноэтаноламина.

Таблица 4.10 – Затраты на электроэнергию и сырье в период испытаний

Оборудование	Количество	Мощность, кВт	Цена, руб/кВт·ч	Потребление сырья и энергетических ресурсов, м <sup>3</sup>	Сырье и энергетические ресурсы	Цена за единицу теплоносителя, руб/м <sup>3</sup>	Время работы, ч	Сумма, руб.
Насос циркуляционный	2	0,04	5,9	8	Вода	15,6	8	178,5
Насос вихревой	6	1,2	5,9	0,1	Моноэтаноламин	107000	-	10742,5
Компрессор	1	2,2	5,9	-	-	-	8	103,8
Итого								10982,3

Затраты на электроэнергию и потребление воды составят (за 2 дня):

- для циркуляционного насоса  $2 \cdot 0,04 \cdot 8 \cdot 5,9 + 8 \cdot 15,6 = 178,5$  руб;
- для вихревого насоса  $6 \cdot 1,2 \cdot 8 \cdot 5,9 + 0,1 \cdot 107000 = 10742,5$  руб;
- для компрессора  $1 \cdot 2,2 \cdot 8 \cdot 5,9 = 103,8$  руб.

Таким образом, затраты на электроэнергию во время испытаний установки составили 10982,3 руб.

Таблица 4.11 – Расчет затрат на установку в период монтажа

№ п/п	Наименование статьи расхода	Сумма, руб
1	Затраты на оборудование	593961,71
2	Затраты на услуги сторонних организаций	4512
3	Основная з/п сотрудников	21569,4
4	Дополнительная з/п сотрудников	5392,4
5	Отчисления на социальные нужды	8142
6	Затраты на испытание установки	10982,3
Итого:		644560

В итоге сумма всех затрат на монтаж составит 644560 руб.



Поскольку моноэтаноламин является оборотным сырьем и практически полностью остается участвовать в технологическом процессе, его потребление на этапе испытаний (таблица 4.10) и исследований остается неизменным.

Таблица 4.13 – Затраты на электроэнергию и сырье

Оборудование	Количество	Мощность, кВт	Цена, руб/кВт·ч	Потребление теплоносителя, м <sup>3</sup>	Теплоноситель	Цена за единицу теплоносителя, руб/м <sup>3</sup>	Время работы, ч	Сумма, руб.
Насос циркуляционный	2	0,04	5,9	80	Вода	15,6	160	1251,8
Насос вихревой	6	1,2	5,9	0,05	Моноэтаноламин	107000	160	17496,8
Компрессор	1	2,2	5,9	-	-	-	160	2076,8
Итого								20825,4

Затраты на электроэнергию и воду составят (20 дней):

- для циркуляционного насоса  $2 \cdot 0,04 \cdot 160 \cdot 5,9 + 80 \cdot 15,6 = 1251,8$  руб;

- для вихревого насоса  $6 \cdot 1,2 \cdot 160 \cdot 5,9 + 0,1 \cdot 107000 = 17496,8$  руб;

- для компрессора  $1 \cdot 2,2 \cdot 160 \cdot 5,9 = 2076,8$  руб.

Таким образом, затраты составили 20825,4 руб.

#### 4.2.3.5 Прочие расходы

Во время проведения исследований возникает необходимость использования дополнительных средств и материалов (крепежные детали, материалы уплотнения и герметизации). Эти расходы составляют 2% от общей заработной платы исследователей, т.е.

$$0,02 \cdot (59090 + 21569,4 + 25626) = 2125,7 \text{ руб.}$$

Таблица 4.14 – Расчет затрат на установку в период монтажа

№	Наименование статьи расхода	Сумма, руб.
1	2	3
1	Основная з/п сотрудников	59090
2	Дополнительная з/п сотрудников	14772,5
3	Отчисления на социальные нужды	22306
4	Затраты при использовании установки	20825,4
5	Прочие затраты	2125,7
Итого:		119123

Сумма затрат на проведение исследований составит 119123,2 руб.





## ЗАКЛЮЧЕНИЕ

В результате проделанной работы был спроектирован лабораторный стенд для исследования процесса абсорбции. Проведенные расчеты подтверждают работоспособность аппарата для дальнейших исследований параметров работы абсорбера.

Был проведен литературный обзор конструкций абсорбционных аппаратов, а также насадочных тел.

В исследовательской части работы была проведена обработка полученных опытных данных и по их результатам проведено сравнение с литературными источниками. Были получены гидродинамические и массообменные характеристики работы аппарата.

Проведены технологический и прочностной расчеты лабораторной колонны, исходя из которых были приняты основные геометрические характеристики аппарата. Также был проведен прочностной анализ царги из органического стекла, по результатам которого были получены максимальные напряжения, возникающие при действующей нагрузке.

В организационно – экономической части научно – исследовательской работы были просчитаны затраты на установку, а также выявлено какую часть удастся сэкономить на дальнейшее проведение исследований.

Также была проработана безопасность и экологичность установки.

В дальнейшем стенд будет модернизирован и будет использоваться для дальнейших исследований работы колонны в соответствующих рабочих условиях.

					<i>ВР – НГТУ – М19ТМ0 – 000 – 21</i>	<i>Лист</i>
<i>Изм.</i>	<i>Лист</i>	<i>№ докум.</i>	<i>Подпись</i>	<i>Дата</i>		83





34. Справочник азотчика. Физико-химические свойства газов и жидкостей. Производство технологических газов. Очистка технологических газов. Синтез аммиака / А. И. Семенова [и др.]. - Москва: Химия, 1986.

35. Семенова Т.А «Очистка технологических газов» Семенова Т.А., Лейтеса И.Л. изд. 2-е, пер. идоп. М., «Химия», 1977

36. Рамм В.М. Абсорбция газов. Изд. 2-е, переработ. И доп. М., «Химия», 1976 г., 656 с.

37. Павлов К.Ф Примеры и задачи по курсу процессов и аппаратов химической технологии: Учебное пособие для вузов/Под ред. чл.-корр. АН СССР П.Г. Романкова. – 9-е изд., перераб. и доп. – Л.: Химия, 1981. – 560 с., ил.

38. ГОСТ 11068-81 Трубы электросварные из коррозионной-стойкой стали

39. ГОСТ Р 34233.1–2017 Сосуды и аппараты. Нормы и методы расчета на прочность. Общие требования

40. ГОСТ 10587-84 Смолы эпоксидно – диановые неотвержденные. Технические условия

41. ГОСТ 10667-90 Стекло органическое листовое. Технические условия

42. Шах А. Д., Погостин С. З., Альман П. А. ШЗ1 Организация, планирование и управление предприятием химической промышленности: Учебник/Под ред. Н. П. Федоренко. — 3-е изд., перераб. и доп.— М.: Высш. школа, 1981

					<i>ВР – НГТУ – М19ТМО – 000 – 21</i>	Лист
Изм.	Лист	№ докум.	Подпись	Дата		86

Опись чертежей

					<i>ВР – НГТУ – М19ТМ0 – 000 – 21</i>	Лист
Изм.	Лист	№ докум.	Подпись	Дата		87

Спецификации

					<i>ВР – НГТУ – М19ТМ0 – 000 – 21</i>	Лист
Изм.	Лист	№ докум.	Подпись	Дата		88